

Seminar 8

STABILIZATOR LINEAR

P1 Pentru circuitul din fig. 1
se cunosc:

$$D_2 \begin{cases} V_Z = 5V \\ I_{Z,min} = 5mA \\ I_{Z,max} = 50mA \\ R_Z \approx 10\Omega \\ \frac{\Delta V_Z}{\Delta T} \approx 0 \text{ mV}/^\circ C \end{cases}$$

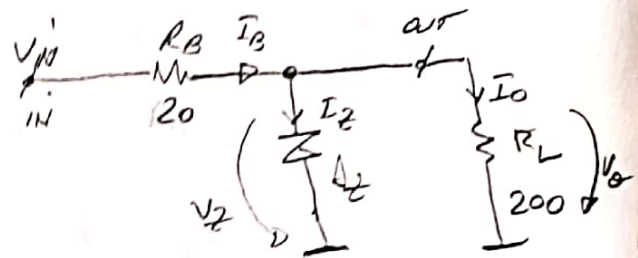


Fig. 1

Se cer:

1. Tipul stabilizatorului
2. Tensiunea de ieșire (V_O) și curentii prin circuit pentru $V_{in} = 6V$
și $R_L = 200\Omega$.
3. Tensiunea de intrare minimă ($V_{in,min}$) pentru $R_L = 200\Omega$.
4. Tensiunea de intrare maximă ($V_{in,max}$) pentru $R_L = 200\Omega$.
5. Factorul de stabilizare cu temperatura ($S_T = \frac{\Delta V_O}{\Delta T}$)
6. Valoarea minimă a rezistenței de sarcină, $R_{L,min}$ pt.
 $V_{in} = 6V$.
7. Valoarea maximă a rezistenței de sarcină, $R_{L,max}$ pt.
 $V_{in} = 6V$.
8. Factorul de stabilizare cu tensiunea $S = \frac{\Delta V_O}{V_O}$ pt. $R_L = 200\Omega$.

Rezolvare

1/ Circuitul din Fig. 1. este un stabilizator parametric cu diodă Zener. S.p.d.v al dispunerii elementelor' de rețea este un stab cu E.R. paralel (D_2).

2.) Pe fig. 1 se observă că $V_0 = V_Z = 5V$

Curentul de ieșire, $I_0 = \frac{V_0}{R_L} = 25 \text{ mA}$

Curentul prin rezistorul R_B este, $I_B = \frac{V_{in} - V_0}{R_B} = \frac{1}{0.02} \text{ mA} = 50 \text{ mA}$

Co urmare: $I_Z = I_B - I_0 = 25 \text{ mA}$

$I_Z > I_{Z, \text{min}}$ \Rightarrow \mathcal{Q}_Z este în stăbilizare și $V_Z = \text{ct.}$

3.) Dacă rezistorul de sarcină a minime la valoare ct. ($R_L = 200 \Omega$) care ce implică $I_0 = \frac{V_0}{R_L} = \text{ct.}$ și, în consecință, creșterea lui I_Z ducă la scăderea curentului I_B .

Cum $I_B = I_Z + I_0$ și I_0 rămâne ct. rezultă că, scăderea lui I_B ducă la scăderea lui I_Z .

Valoarea limită a lui I_Z pentru care $V_0 = V_Z = \text{ct.}$ este $I_{Z, \text{min}}$.

Co urmare: $V_{0, \text{min}} = V_0 + R_B(I_0 + I_{Z, \text{min}}) = 5.6V$

4.) Pe \mathcal{Q}_Z o rezistor de sarcină ct. și $V_0 = \text{ct.}$ (stăbilizat), creșterea lui I_Z ducă la creșterea I_B .

Valoarea maximă raportată de \mathcal{Q}_Z , conform datelor problemei, este $I_{Z, \text{max}} = 50 \text{ mA}$. Co urmare:

$$V_{0, \text{max}} = V_0 + R_B(I_0 + I_{Z, \text{max}}) = 6.5V$$

Acum am reprezentat caracteristica $V_0 = f(V_I)$ rezultă, pe baza datelor calculate, Fig. 2.

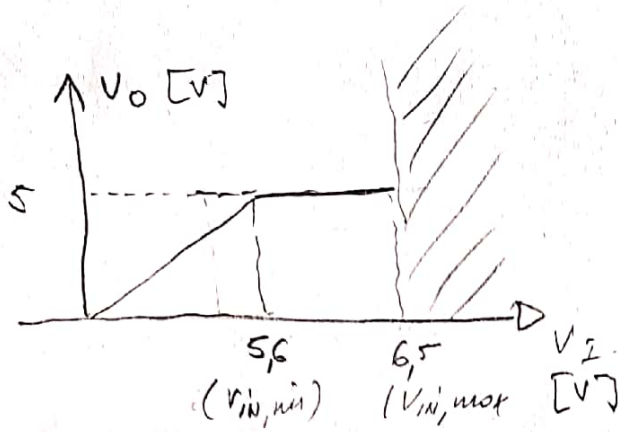


Fig. 2.

Concluzii:

Calculule realizate la punctele 3 a' 4 arată că pentru un rezistor de sarcină cu valoare de 200 Ω beneficiem de o tensiune de ieșire $V_O = \text{ct}$ pentru $V_{in} \in [5.6 \dots 6.5]$

O tensiune de ieșire sub. $V_{in, \min}$ nu va putea menține $V_O = \text{ct}$. deoarece dioda teacă va lucra sub. $I_{Z, \min}$, deci, nu va fi în stabilizare.

Apropierea $V_{in, \max}$ va duce la depășirea curenților maximi suportat de R_Z , deci, la distrugerii acestuia. (Un factor limitativ pentru $V_{in, \max}$ este și puterea maximă suportată de R_Z - un a fost luat în calcul deoarece nu a fost specificat în datele problemei).

5) Factorul de stabilizare nu depinde de:

$$S_T = \frac{\Delta V_O}{\Delta T} = \frac{\Delta V_Z}{\Delta T} \approx 0 \text{ mV/}^\circ\text{C}$$

↑
stabilizatorul este termocompensat

La o temperatură variabilă (într-un interval dat - ptr. electronice de larg consum $-30 \dots 120^\circ\text{C}$) $\Rightarrow V_O = \text{ct}$ adică este de ordin.

6.) Dacă $V_O = \text{ct}$ (pentru a-n pînă la funcția de stabilizare) și R_L variabil \Rightarrow se variază curenții prin R_Z .

Cum în zona de $V_0 = 6V$ punctu în $V_{in} = 6V$ rezultă

$$I_B = \frac{V_{in} - V_0}{R_B} = 50 \mu A$$

$$I_B = I_Z + I_{L_0} = I_Z + \frac{V_0}{R_L}$$

La urmare, valoarea minimă a lui R_L va fi impusă de curentul minim suportat de Z , $I_{Z,min} = 5 \mu A$

$$I_{0,max} = I_B - I_{Z,min} = 45 \mu A$$

$$R_{L,min} = \frac{V_0}{I_{0,max}} \approx 111,1 \Omega$$

7.] Valoarea maximă a lui R_L , $R_{L,max}$ este impusă de curentul max. suportat de Z , $I_{Z,max}$:

$$I_{0,min} = I_B - I_{Z,max} = 0$$

$$R_{L,max} = \frac{V_0}{I_{0,min}} = \infty$$

Stabilizatorul poate funcționa
cu ieșire în gol

Acum întrebăm dacă $R_L = 0$ (circuitul nu se curtcircuitează)?

8.] Factorul de stabilizare cu tensiune de intrare

În cazul unui stabilizator, tensiunea de intrare poate fi variabilă în timp din două motive:

a) O variație în domeniul $[V_{in,min}, V_{in,max}]$ datorată variației în timp a parametrilor sursei care furnizează V_{in} și a tensiunii rețelei care furnizează energia. Aceste variații sunt aleatoare.

b) O variație periodică datorată rețelei care furnizează energia alternativă în tensiune continuă (RIPPLE)

În Fig. 3 este dată
o evoluție ipotetică în timp
a V_{in} pentru un stab.

Se observă că peste
variația distorsiunii a
 V_{in} este impusă
o amplitudine
unei unde, periodice, - rezultat.

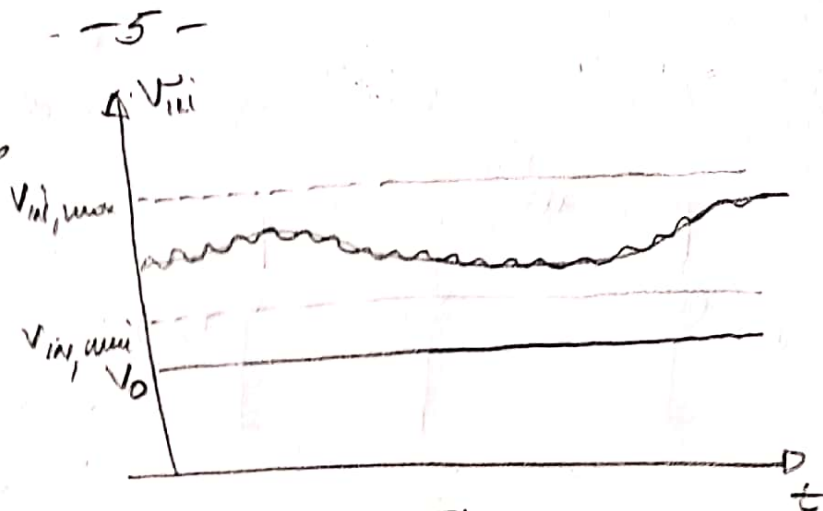


Fig. 3.

Stabilizatorul trebuie să se reflecteze pe ambele și să
opere la o tensiune V_0 constantă.

Pentru a prinde esența ripple-ului și să-l reprezinte cu curba
 V_{in} o cură de sinus mic, alternativ - V_i , ca în fig. 4.

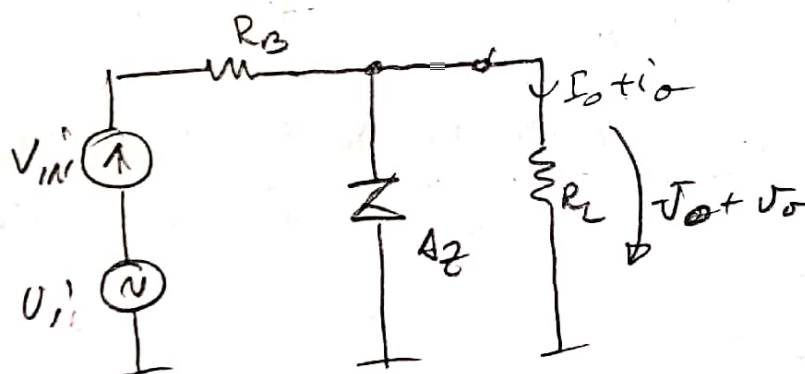


Fig. 4.

Parametrul dinamic al
stabilizatorului care
arată cât de bine
rejectionează un stab.
comp. variabilă a
amplitudinii de la intrare
se este $S = \frac{V_i}{V_o}$

Un stab. ideal rejectionează complet comp. variabilă
a amplitudinii de la intrare și, la ieșire, la un
 $V_i \neq 0 \Rightarrow V_o = 0 \Rightarrow S = \infty$.

La stabilizatoarele reale $S < \infty$ dar se poate
părea proiectori ce valoarea lui S să fie cât mai
mare.

Pentru evoluția lui S pentru stab. din Fig. 1

se determină scheme de c.c. a lui fig. 5.

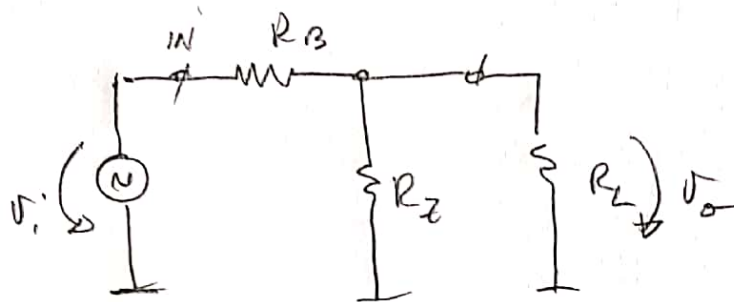


Fig. 5.

$$V_o = \frac{R_Z \parallel R_L}{R_Z \parallel R_L + R_B} \cdot V_i$$

$$S = \frac{V_i}{V_o} = \frac{R_Z \parallel R_L + R_B}{R_Z \parallel R_L} = 1 + \frac{R_B}{R_Z \parallel R_L}$$

Cum $R_Z \approx 10 \Omega$, $R_L = 200 \Omega \Rightarrow R_Z \parallel R_L \approx R_Z = 10 \Omega$

Deci, $S = 1 + \frac{20}{10} = 3$

S este de valoare foarte redusă. Pentru totuși lui S , fără a modifica parametrii schemei cu' atît.

se poate face în două moduri:

a) Utilizînd o diodă Zener în R_Z cît mai mic

de exemplu, o valoare a lui R_Z de 1Ω ar duce la un $R_Z = 1$

b) Utilizînd un condensator montat în paralel pe ieșirea stabilizatorului ca în fig. 6.

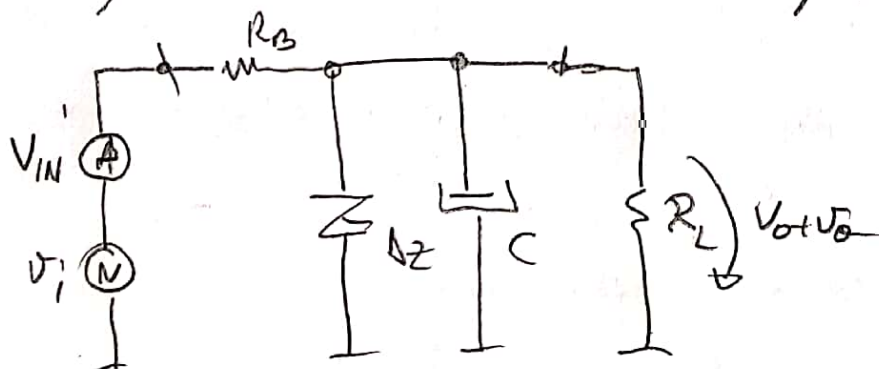


Fig. 6

Prii adăugarea acestui condensator, $S = 1 + \frac{R_B}{R_Z \parallel R_L \parallel \underline{Z}_C}$

Deci $C \rightarrow \infty \Rightarrow \underline{Z}_C \rightarrow 0 \Rightarrow S \rightarrow \infty$

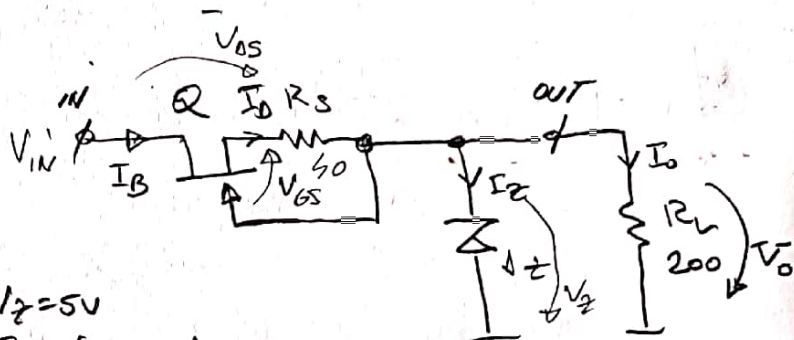
Pe circuitul real nu avem la dispoziție $C = \infty$ (C_{os})
 Co urmare, n alegem o valoare a lui C suficient de mare
 astfel încât să se obțină un S multumitor.

P₂

Pentru tabl. din Fig. 7.

cu urmare

$$Q \begin{cases} I_{DSS} = 200 \mu A \\ V_T = -4V \\ r_{ds} = r_{gs} = 10 k\Omega \\ V_{DS, max} = 25V \end{cases}; \Delta Z \begin{cases} V_Z = 5V \\ I_{Z, min} = 5 \mu A \\ I_{Z, max} = 50 \mu A \\ R_Z \approx 10 \Omega \\ \frac{\Delta V_Z}{\Delta T} = 0 mV/^\circ C \end{cases} \text{ Fig. 7.}$$



Căruțele sunt identice cu cele de la P₁.

1. Stabilizator parametric cu diodă Zener și surse de curent constant (Q, R_S).

constant (Q, R_S).

2/ $V_0 = V_Z = 5V$

$$I_0 = \frac{V_0}{R_L} = 25 \mu A$$

$$\begin{cases} I_D = I_{DSS} \left(1 - \frac{V_{GS}}{V_T}\right)^2 \\ V_{GS} = -R_S \cdot I_D \end{cases}$$

$$-\frac{V_{GS}}{R_S} = I_{DSS} \left(1 - \frac{V_{GS}}{V_T}\right)^2.$$

Prin rezolvarea ec. de grad II, rezultă: $V_{GS} = -2V$, $I_D = 50 \mu A$
 = et.

Co urmare $I_Z = I_D - I_0 = 25 \mu A$.

Se observă că pentru un $V_i \in [V_{in, min}, V_{in, max}]$ și $R_L = et$,
 curentul prin Z rămâne et așa că face ca efectul lui
 R_Z să fie diminuat $\Rightarrow V_Z$ mult mai stabil față de P_1 .

3.) $V_{in, min}$ este minimum la care $V_0 = 0V$ și Q este la limita saturării. $V_{DS, min}$ și $V_{DS sat} = V_{GS} - V_T = 2V$

$$I_{ee}, V_{in, min} = V_{DS, min} + I_{R_S} \cdot I_D + V_0 = 9V$$

4.) $V_{in, max}$ este cuprins de maximum maxim suportat de tranzistorul Q , $V_{DS, max}$

$$V_{in, max} = V_{DS, max} + R_S \cdot I_D + V_0 = 32V$$

5.) Factorul de stabilizare în timp:

$$S_T = \frac{\Delta V_0}{\Delta T} = \frac{\Delta V_E}{\Delta T} \approx 0 mV/c$$

6.) Valoarea minimă a rezistenței de sarcină în calculul punctului de lucru este P_1 .

$$R_{L, min} \approx 111,1 \Omega$$

7.) Val maximă a rez. de sarcină - identic P_1

$$R_{L, max} = \infty \quad (\text{stob. poată funcț. cu ieșirea în gol} \\ I_D = 0)$$

OBSERVAȚIE:

În cazul schemei din fig. 7 nu contorim în calculul valorilor extreme ale R_L valoarea V_{in} care nu are acoperire este în intervalul $[V_{in, min}, V_{in, max}]$.

În cazul P_1 (fig. 1) domeniul în care poate lua val. R_L este în funcție de valoarea V_{in} .

5) Factorul de stabilizare S în configurație pe schemă de c.a. din fig. 8.

- r_e este rezistența echivalentă în c.a. a grupului Q, R_S .
(fig. 9, 10).

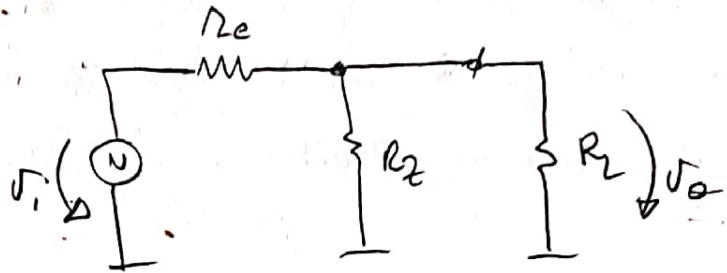


Fig. 8.

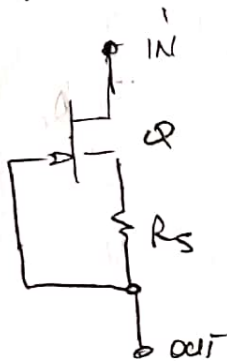


Fig. 9.

c.a.
 \Rightarrow

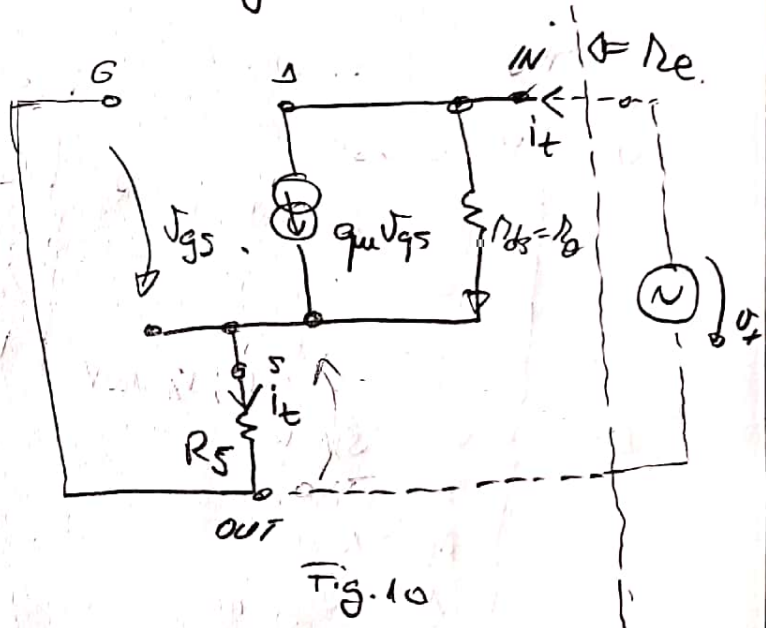


Fig. 10.

$$r_e = \frac{v_t}{i_t} = \frac{+v_{gs} \left(1 + \left(\frac{1}{R_S} + g_m \right) r_{ds} \right)}{+ \frac{v_{gs}}{R_S}}$$

$$v_t = -\frac{v_{gs}}{R_S}$$

$$v_t = -v_{gs} + \left(-\frac{v_{gs}}{R_S} - g_m v_{gs} \right) R_S$$

$$r_e = R_S + (1 + g_m R_S) \cdot r_{ds}$$

$$g_m = \frac{2I_{DSS}}{1V_{T1}} \left(1 - \frac{V_{GS}}{V_{T1}} \right) =$$

$$r_e = 0,04k + (1 + 50k\Omega \cdot 0,03k\Omega) \cdot 10k\Omega =$$

$$g_m = 100 \frac{mA}{V} (1 - 0,5) = 50k\Omega^{-1}$$

$$r_e \approx 301k\Omega$$

Co urmare $S = 1 + \frac{r_e}{R_2 \parallel R_L} \approx 1 + \frac{r_e}{R_2} \approx \underline{\underline{3000}}$

Pe acasă, când se introduce în locul R_S a grupului Q, R_S factorul de stabilizare

crește de la 3 la 3000 (3 ordine de mărime).

O îmbunătățire implementată la lui 5 se poate obține prin adăugarea în paralel cu R_2 a unui conductor, (vezi analiza realizată la P_1)

3] Componentele stabilizatorului din Fig. 11. au parametri:

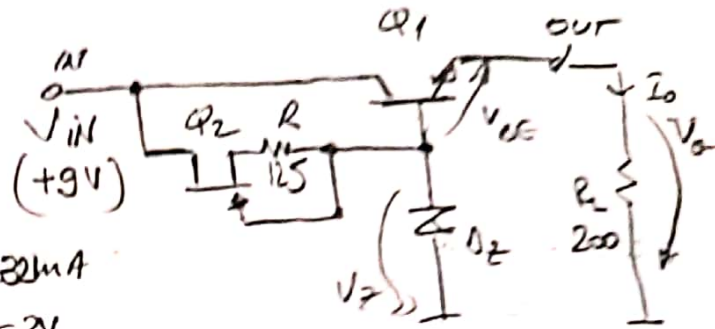


Fig. 11.

$$Q_1 \begin{cases} V_{BE} = 0.6V \\ I_{C,max} = 250mA \\ P_{D,max} = 500mW \\ P_T = P_D = 100 \\ V_{CE,max} = 25V; V_A = 100V \end{cases} \quad Q_2 \begin{cases} I_{DSS} = 20mA \\ V_T = -2V \\ r_0 = r_{ds} = 50k\Omega \\ V_{DS,max} = 25V \end{cases}$$

$$Dz = \begin{cases} V_Z = 5.6V \\ I_{Z,min} = 5mA \\ R_Z \approx 10\Omega \\ \frac{\Delta V_Z}{\Delta T} \approx 0 \text{ mV}/^\circ C \\ I_{Z,max} = 50mA \end{cases}$$

Circuitul merită identificat cu cele de la

- 9) $P_1, R_0 = ?$ (la număr mic)
10) Să se explice funcționarea stab.

1.] Este un stab. parametric cu EES (Q_1) și reglat realizat cu Dz .

Q_2, R este o mărime de curent constant care elimină eroarea tranzistorului Q_1 și Dz .

2.] $V_0 = V_Z - V_{BE} = 5V$

$$I_0 = \frac{V_0}{R_L} = \frac{5}{0.2} \text{ mA} = 25 \text{ mA}$$

$$\begin{cases} I_{O2} = I_{DSS} \left(1 - \frac{V_{GS}}{V_T}\right)^2 \\ V_{GS2} = -R \cdot I_{O2} \end{cases} \quad \parallel \quad \begin{cases} V_{GS2} = -1V \\ I_0 = 8 \text{ mA} \end{cases}$$

$$I_{D2} = I_2 + I_{B1} = I_2 + \frac{I_{C1}}{\beta} \Rightarrow I_2 = I_{D2} - \frac{I_{C1}}{\beta} \approx I_{D2} = 8 \text{ mA}$$

$$V_{CE1} = V_{IN} - V_{OUT} = 4 \text{ V} > V_{CE \text{ RAN}}$$

$I_2 > I_{2, \text{min}}$ ok

$$V_{DS2} = V_{IN} - V_2 - R \cdot I_{D2} = 3 \text{ V} > V_{DS} - V_T \text{ SAT.}$$

3.] $V_{IN, \text{min}} = ?$

$$V_{IN, \text{min}1} = V_0 + V_{CE1, \text{min}} = V_0 + V_{CE1} = 5,6 \text{ V.}$$

$$V_{IN, \text{min}2} = V_0 + I_{D2} \cdot R + V_{DS, \text{min}2} = V_0 + I_{D2} \cdot R + V_{DS, \text{sat}2} = 7,6 \text{ V}$$

$$V_{IN, \text{min}} = \max \{ V_{IN, \text{min}1}, V_{IN, \text{min}2} \} = 7,6 \text{ V}$$

4.] $V_{IN, \text{max}} = ?$

$$V_{CE, \text{max}1} = \frac{P_{D, \text{max}}}{I_C} = \frac{500 \text{ mW}}{25 \text{ mA}} = 20 \text{ V}$$

$$V_{IN, \text{max}1} = V_0 + V_{CE, \text{max}1} = 30 \text{ V}$$

$$V_{IN, \text{max}2} = V_0 + V_{CE, \text{max}1} = 25 \text{ V}$$

$$V_{IN, \text{max}3} = V_0 + V_{DS} + R \cdot I_{D2} + V_{DS, \text{max}2} = 31,6 \text{ V}$$

$$V_{IN, \text{max}} = \min \{ V_{IN, \text{max}1}, V_{IN, \text{max}2}, V_{IN, \text{max}3} \} = 25 \text{ V}$$

5.] $S_T = \frac{\Delta V_0}{\Delta T} = \frac{\Delta}{\Delta T} (V_2 - V_{CE}) = \frac{\Delta V_2}{\Delta T} - \frac{\Delta V_{CE}}{\Delta T} = 0 \frac{\text{mV}}{^\circ\text{C}} - (-2 \text{ mV}/^\circ\text{C})$

$S_T \approx 2 \text{ mV}/^\circ\text{C} \rightarrow$ temperatura de referință deste un termistor.
cu $2 \text{ mV}/^\circ\text{C}$. Stab. nu este termistor.

Indicați o posibilitate de compensare termică a stăb!

6.] Voltoare minime cu rez. de sarcină, $R_{L, \text{min}}$

Deci $R_L \downarrow \Rightarrow I_O \uparrow$ (V_O tb. se reducește).

$$I_{O,max1} = \beta I_{B,max}$$

$$I_{B,max} = I_{B2} - I_{B,min} = 3 \mu A$$

$$I_{O,max1} = 100 \cdot 3 \mu A = 300 \mu A$$

$$I_{O,max3} = \frac{P_{D,max1}}{V_{CE1}} = \frac{P_{D,max}}{V_{IN} - V_O} = \frac{500 \mu W}{4V} = 125 \mu A$$

$$I_{O,max2} = I_{C,max1} = 250 \mu A$$

Factorul limitativ este puterea disipată maximă a tranzistorului.

$$\text{Adică, } I_{O,max} = \min \{ I_{O,max1}, I_{O,max2}, I_{O,max3} \}$$

$$R_{L,min} = \frac{V_O}{I_{O,max}} = 40 \Omega$$

7.] $R_{L,max}$ - valoare maximă a rez. de sarcină.

Deci $R_L \uparrow \Rightarrow I_O \downarrow$ (V_O tb. se mărește).

$I_{O,min}$ poate fi zero (circuitul este în gol).

$$\Rightarrow R_{L,max} = \frac{V_O}{I_{O,min}} = \infty$$

8.] $S = ?$

Se dă schema de c.a. ce este în fig. 12.

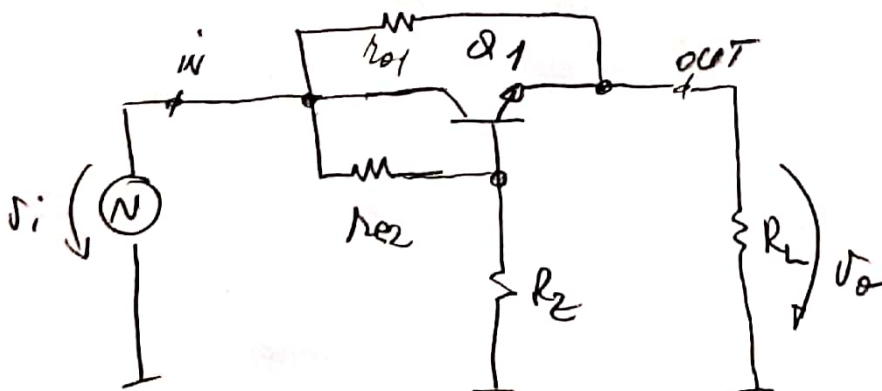


Fig. 12

Se înlocuiește tranzistorul Q_1 în circuitul nou schițat de c.a. semnal mic în JF. (fig. 13)

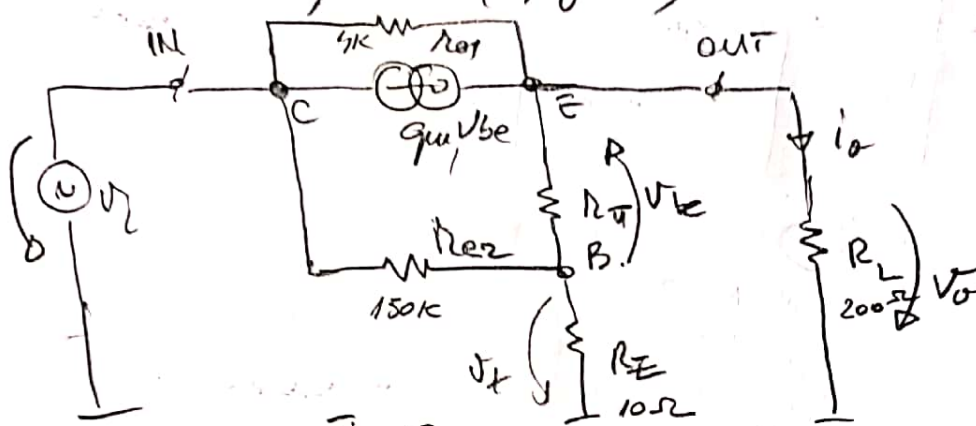


Fig. 13.

$$R_{g1} = \frac{V_{DD}}{I_C} = \frac{100}{25} \text{ k}\Omega$$

$$R_{g1} = 4 \text{ k}\Omega$$

R_{g2} se calculează în același mod ca se în R_E

$$\text{Deci, } R_{g2} = R + (1 + g_{m1} R) \cdot R_{DS2} \quad g_{m1} = \frac{2I_{DSS}}{V_{GS}} \left(1 - \frac{V_{GS}}{V_T}\right) = 16 \text{ mS}$$

$$R_{g2} \approx 150 \text{ k}\Omega$$

Raportul $\frac{V_o}{V_i}$ poate fi calculat prin metoda superpoziției sau prin utilizarea tehnicii de calcul din curs. (cap. 4)

$$I_C = g_{m1} \cdot V_{be} \approx i_o$$

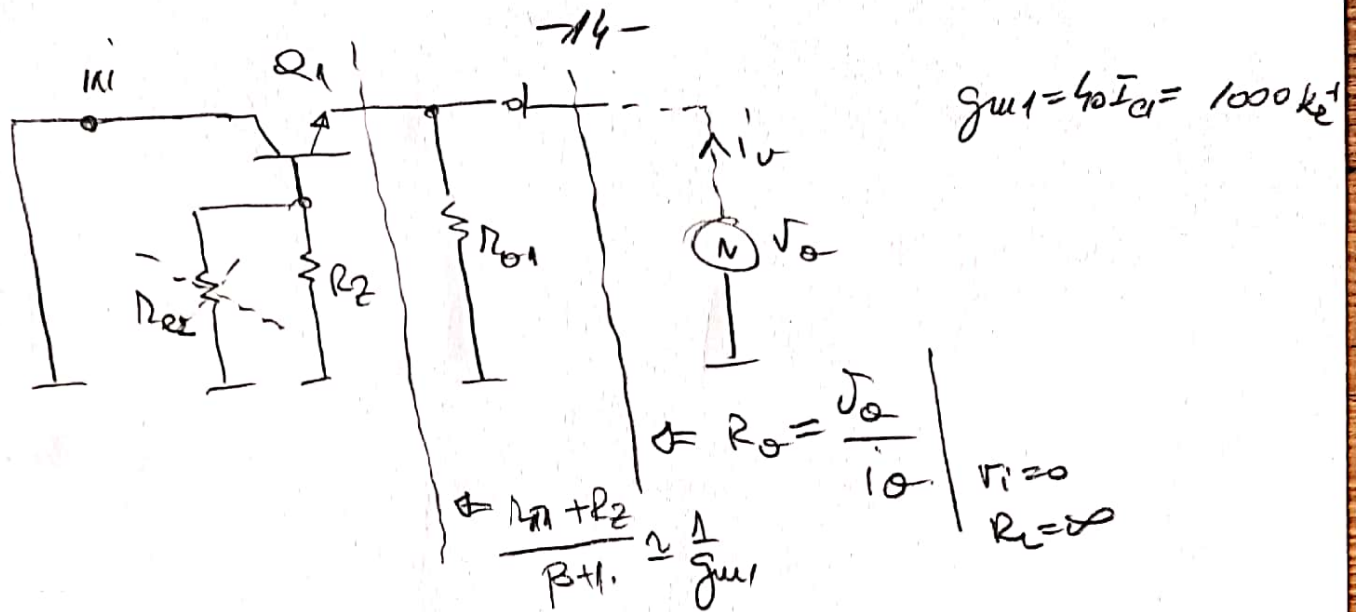
$$V_o \approx g_{m1} \cdot V_{be} \cdot R_L$$

$$\text{Pe circ. din fig. 13} \quad V_z = V_o + V_{be} = V_{be} (1 + g_{m1} R_L) \approx V_o$$

$$\frac{1}{S} = \frac{V_o}{V_i} = \frac{V_o}{V_z} \cdot \frac{V_z}{V_i} \approx \frac{V_z}{V_i} \approx \frac{R_z}{R_z + R_{g2}}$$

$$S = 1 + \frac{R_{g2}}{R_z} \approx \frac{R_{g2}}{R_z} = \frac{150 \text{ k}}{0,01 \text{ k}} = \underline{\underline{15000}}$$

$$\underline{9.1} \quad R_o = \frac{V_o}{i_o} \bigg|_{V_i=0, R_L=\infty} \quad (\text{vezi fig. 14})$$



$$R_o \approx \left(\frac{1}{g_{m1}} \right) \parallel R_{o1} \approx \frac{1}{g_{m1}} = \frac{1}{1000} \text{ K} = 1 \Omega$$

10. Funcționare

Se c^ă V_{in} variază în intervalul $[V_{in, \min}, V_{in, \max}]$
 și, de asemenea, are două trezuite;

P.p. c^ă $V_{in} \uparrow \Rightarrow V_o \uparrow$ dar

$$\left. \begin{array}{l} V_o = V_z - V_{BE} \\ V_z = \text{ct} \\ I_C = I_S \exp\left(\frac{V_{BE}}{V_{TH}}\right) \end{array} \right\}$$

$\Rightarrow I_o \uparrow \Rightarrow I_C \uparrow \Rightarrow V_{BE} \uparrow \Rightarrow V_o = V_z - V_{BE} \downarrow$

Tendința de creștere a lui V_o este anulată.